

Math-Net.Ru

Общероссийский математический портал

В. Ф. Камбулов, С. А. Тарасов, Н. Б. Федоров,
А. Н. Чикин, Об одной модели автоколебательной
системы с распределенными параметрами, *Ма-
тем. моделирование*, 2000, том 12, номер 12, 3–10

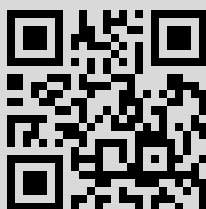
Использование Общероссийского математического портала Math-
Net.Ru подразумевает, что вы прочитали и согласны с пользователь-
ским соглашением

<http://www.mathnet.ru/rus/agreement>

Параметры загрузки:

IP: 95.86.251.76

14 августа 2021 г., 23:15:06



МАТЕМАТИЧЕСКИЕ МОДЕЛИ И ВЫЧИСЛИТЕЛЬНЫЙ ЭКСПЕРИМЕНТ

ОБ ОДНОЙ МОДЕЛИ АВТОКОЛЕБАТЕЛЬНОЙ СИСТЕМЫ С РАСПРЕДЕЛЕННЫМИ ПАРАМЕТРАМИ

© *В.Ф.Камбулов, С.А.Тарасов, Н.Б.Федоров, А.Н.Чикин*

Ярославский государственный университет им. П.Г.Демидова

Рассматривается автогенератор с LCR-распределенными параметрами в цепи обратной связи, которая индуктивно взаимодействует с отрезком длинной линии. При сильной связи между генератором и отрезком линии построена математическая модель изучаемой системы. На основе специального варианта метода Крылова-Боголюбова-Митропольского проведен расчет параметров автоколебаний. Доказано, что включение в систему добротной «настроенной» дополнительной линии приводит к вырождению явления многоцикличности в базовом генераторе и к бифуркации стабильных, близких к гармоническим, автоколебаний на основной частоте самовозбуждения. Теоретические выводы подтверждены экспериментально.

ON A MODEL OF AUTO OSCILLATING SYSTEM WITH DISTRIBUTED PARAMETERS

V.F.Kambulov, S.A.Tarasov, N.B.Fedotov, A.N.Chikin

Yaroslavl Demidov State University

The subject of the information is a self-excited oscillator with LCR-distributed parameters the feedback circuit, which inductively interacts with a segment of a long line. Having achieved tight binding between the oscillator and the segment of a line a mathematical model of the system under consideration was built. Using special variant of the Krilov-Bogolubov-Mitropolski method calculation of oscillation parameters was performed. It is demonstrated that introduction of property «adjusted» auxiliary line leads to negative feedback (degeneration) of mono cyclicity in the base-model oscillator and bifurcation of stable, close to harmonic motion auto oscillation on the fundamental frequency of self-excitation. Theoretical conclusions are supported by experiments.

Введение

В теории нелинейных колебаний хорошо известна и исследована автоколебательная система: одноконтурный генератор Ван-дер-Поля, индуктивно взаимодействующий с пассивным колебательным контуром [1]. Подобная система может найти применение, например, для стабилизации частоты генератора. Авторами настоящей работы построена одна из возможных

моделей распределенного аналога данного дискретного устройства, однако в качестве базового генератора был использован автогенератор с отрезком длинной линии в цепи обратной связи [2,3]. Интерес к изучению именно такой системы вызван рядом обстоятельств: 1) новизной рассматриваемого объекта; 2) определенными проблемами его математического моделирования; 3) математическими трудностями анализа поставленной задачи, что привело к необходимости дальнейшего развития специального варианта асимптотического метода Крылова-Боголюбова-Митропольского; 4) использованием на практике исследуемого устройства, например, для генерации стабильных автоколебаний, близких к гармоническим.

Отметим, что базовый генератор с отрезком длинной линии в цепи обратной связи изучался в ряде работ [2,3], основной результат которых – обнаружение и анализ явления многоцикличности (реализация из набора возможных устойчивых циклов какого-либо одного, задаваемого начальными условиями). Очевидно, такой генератор нестабилен (из-за флуктуаций происходят переходы с одного режима на другой), и тем самым сужаются границы его применимости на практике. Однако, как показал проведенный в настоящей работе анализ, использование в системе «настроенной» добротной дополнительной линии позволяет «фиксировать» и стабилизировать режим автоколебаний на основной частоте генерации, что согласуется с известными классическими результатами для аналогичных дискретных устройств.

Цель настоящей статьи – построение математической модели LCR-распределенной системы, сильно индуктивно взаимодействующей с отрезком длинной линии, исследование бифурцирующих в ней автоколебаний, сравнение теоретических и экспериментальных результатов.

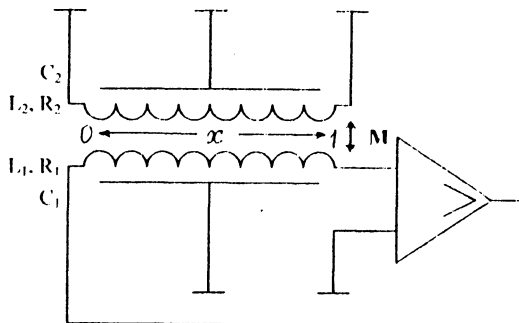


Рис.1.

1. Постановка задачи

Рассмотрим блок-схему автогенератора, представленную на рис.1. Можно показать, что математической моделью данной системы служит краевая задача вида

$$u_{1tt} + r_1 u_{1t} + M_1 u_{2tt} = u_{1xx}, \quad (1)$$

$$u_{2tt} + r_2 u_{2t} + M_2 u_{1tt} = a u_{2xx}, \quad (2)$$

$$u_{1x}|_{x=1} = 0, \quad u_2|_{x=0} = u_2|_{x=1} = 0, \quad (3)$$

$$u_1|_{x=0} + k_0 u_1|_{x=1} - u_1^3|_{x=1} = 0, \quad (4)$$

где $u_1(t, x)$, $u_2(t, x)$, $r_1 = R_1 \sqrt{C_1 / L_1}$, $r_2 = R_2 \sqrt{L_1 C_1} / L_2$, $M_1 = (MC_2) / (L_1 C_1)$, $M_2 = (MC_1) / (L_2 C_2)$ соответственно нормированные переменные составляющие напряжений, активные потери и коэффициенты взаимоиנדукций линий; $a = (L_1 C_1) / (L_2 C_2)$. В краевом условии (4) k_0 – бифуркационный параметр, физический смысл которого – коэффициент активного элемента.

Предположим, что основная (цепь обратной связи) и дополнительная линии «настроены» ($a=1$), сильно индуктивно связаны, и активные потери в них малы. При этом положим

$$r_1=\varepsilon, \quad r_2=\varepsilon r, \quad M_1=m_1^2, \quad M_2=m_2^2\varepsilon, \quad (5)$$

где ε – малый положительный параметр, а $r, m_j^2, j=1,2$ сравнимы с единицей. Тогда, как следует из результатов работы [3]

$$k_0=1+\varepsilon^2\gamma. \quad (6)$$

Кратко поясним выбор порядков малых параметров в равенствах (5) и (6). Во-первых, в качестве малого параметра ε выбран параметр, характеризующий нормированные активные потери в основной линии. Во-вторых, последующие соотношения в (5) следуют из условия сильной связи и использования более добротной по сравнению с основной дополнительной линии. В третьих, равенство (6) – следствие кратности корней характеристического уравнения для линеаризованной краевой задачи, описывающей базовый генератор.

Отметим, что линеаризованная краевая задача (1)-(4) при $\varepsilon=0$ распадается на две задачи:

$$u_{1tt} + m_1^2 u_{2tt} = u_{1xx}, \quad u_{1x}|_{x=1} = 0, \quad u_{1x}|_{x=0} + u_{1x}|_{x=1} = 0, \quad (7)$$

$$u_{2tt} = u_{2xx}, \quad u_2|_{x=0} = u_2|_{x=1} = 0, \quad (8)$$

причем характерные особенности однородной задачи (7) заключается в том, что, во-первых, она имеет счетное число линейно независимых периодических решений

$$\exp(\pm i\omega_n t) \cos \omega_n x, \quad \omega_n = \pi(2n-1), \quad n=1,2,\dots; \quad (9)$$

во-вторых, в силу кратности корней ω_n собственным числам $-\omega_n^2, n=1,2,\dots$ оператора

$$Av = \frac{d^2 v}{dx^2}, \quad v'(1) = 0, \quad v(0) + v(1) = 0 \quad (10)$$

кроме собственных функций $\cos \omega_n x$ отвечают также присоединенные функции $(x-1)\sin \omega_k x / 2\omega_n$. Однако краевая задача (8) имеет только счетное число линейно независимых решений вида

$$\exp(\pm i\omega_n t) \sin \omega_n x, \quad \omega_k = \pi k, \quad k=1,2,\dots \quad (11)$$

Несложный анализ показывает, что увеличение бифуркационного параметра k_0 приводит к самовозбуждению автогенератора только на частотах ω_k , отвечающих нечетным номерам k . На частотах ω_k , соответствующих четным номерам k , генератор не возбуждается.

2. Построение укороченной системы уравнений

Используя результаты предыдущего пункта, для построения автоколебаний краевой задачи (1)-(4) применим следующую модификацию метода Крылова-Боголюбова-Митропольского [2-5]. Будем полагать, что

$$u_1(t, \tau, x) = \varepsilon u_{10}(t, \tau, x) + \varepsilon^2 u_{11}(t, \tau, x) + \varepsilon^3 u_{12}(t, \tau, x) + \dots, \quad (12)$$

$$u_2(t, \tau, x) = \varepsilon^2 u_{20}(t, \tau, x) + \varepsilon^3 u_{21}(t, \tau, x) + \dots, \quad (13)$$

$$u_{10} = \sum_{n=1}^{\infty} (z_n(\tau) \exp(i\omega_n t) + \overline{z_n}(\tau) \exp(-i\omega_n t)) \cos \omega_n x, \quad (14)$$

$$u_{20} = \sum_{n=1}^{\infty} (y_n(\tau) \exp(i\omega_n t) + \overline{y_n}(\tau) \exp(-i\omega_n t)) \sin \omega_n x, \quad (15)$$

где $\tau = \varepsilon t$, а комплексные «амплитуды» z_n , y_n таковы, что сходятся ряды с общими членами $\omega_n^2 |z_n|^2$, $\omega_n^2 |y_n|^2$. Подставим (12), (13) с учетом (5), (6) в краевую задачу (1)-(4) и приравняем затем коэффициенты при ε^2 , ε^3 . Для нахождения 2-периодических по t функций u_{11} , u_{12} , u_{21} приходим к краевым задачам

$$u_{11tt} - u_{11xx} + 2u_{10t\tau} + u_{10t} + m_1^2 u_{20tt} = 0, \quad (16)$$

$$u_{11x}|_{x=1} = 0, \quad u_{11}|_{x=0} + u_{11}|_{x=1} = 0, \quad (17)$$

$$u_{12tt} - u_{12xx} + 2u_{11t\tau} + u_{11t} + u_{10\tau\tau} + u_{10\tau} + m_1^2 (2u_{20t\tau} + u_{21tt}) = 0, \quad (18)$$

$$u_{12x}|_{x=1} = 0, \quad u_{12}|_{x=0} + u_{12}|_{x=1} + \gamma u_{10}|_{x=1} - u_{10}^3|_{x=1} = 0, \quad (19)$$

$$u_{21tt} - u_{21xx} + 2u_{20t\tau} + ru_{20t} + m_2^2 (u_{11tt} + 2u_{10t\tau}) = 0, \quad (20)$$

$$u_{21}|_{x=0} = u_{21}|_{x=1} = 0. \quad (21)$$

Путь исследования выписанных выше краевых задач следующий. Сначала рассматриваем краевую задачу (16), (17). При условии разрешимости в классе 2-периодических по t функций частное решение краевой задачи (16), (17) имеет вид

$$u_{11} = \sum_{n=1}^{\infty} (2\dot{z}_n + z_n) c_n(x) \exp(i\omega_n t) + (2\dot{\bar{z}}_n + \bar{z}_n) \bar{c}_n(x) \exp(-i\omega_n t), \quad (22)$$

где точка означает дифференцирование по τ , а

$$c_n(x) = \frac{i}{2} (x-1) \sin \omega_n x.$$

Следующий шаг – рассмотрение краевой задачи (20), (21). Подставляя формулу (22) в уравнение (20), после некоторых преобразований убеждаемся, что условия разрешимости краевой задачи (20), (21) в классе 2-периодических по t функций имеют вид

$$\dot{y}_n + \frac{r}{2} y_n + \frac{m_2^2 \omega_n}{4} \dot{z}_n + \frac{m_2^2 \omega_n}{8} z_n = 0, \quad n=1, 2, \dots, \quad (23)$$

а ее решение

$$u_{21} = m_2^2 \sum_{n=1}^{\infty} (\dot{z}_n \exp(i\omega_n t) D_n(x) + \dot{\bar{z}}_n \exp(-i\omega_n t) \bar{D}_n(x)), \quad D_n(x) = ix \sin \omega_n x. \quad (24)$$

И наконец, подставляя (22), (24) в уравнение (18) и проделывая необходимые преобразования, приходим к выводу, что условия разрешимости краевой задачи (18), (19) в классе 2-периодических по t функций представимы в виде

$$\ddot{z}_n + \left(1 - \frac{i\omega_n m_1^2 m_2^2}{2}\right) \dot{z}_n + 2im_1^2 \dot{y}_n - 2(\gamma - 1/8)z_n + 2f_n = 0. \quad (25)$$

Здесь f_n – коэффициент при $\exp(i\omega_n t)$ в разложении Фурье функции w^3 , где

$$w = \sum_{n=1}^{\infty} z_n \exp(i\omega_n t) + \bar{z}_n \exp(-i\omega_n t). \quad (26)$$

Учитывая, что в реальных системах число частот самовозбуждения генератора всегда конечно, положим его равным N . После этого окончательно получаем укороченную систему обыкновенных дифференциальных уравнений вида

$$\begin{aligned} \ddot{z}_n + \left(1 - \frac{i\omega_n m_1^2 m_2^2}{2}\right) \dot{z}_n + 2im_1^2 \dot{y}_n - 2(\gamma - 1/8)z_n + 2 \sum_{P_n} z_m z_k z_s + \\ + 2 \sum_{Q_n} z_m z_k \bar{z}_s + 2 \sum_{R_n} z_m \bar{z}_k \bar{z}_s = 0, \end{aligned} \quad (27)$$

$$\dot{y}_n + \frac{r}{2} y_n + \frac{\omega_n m_2^2}{4} \dot{z}_n + \frac{\omega_n m_2^2}{8} z_n = 0, \quad (28)$$

где

$$P_n = \{(m, k, s) : \omega_n = \omega_m + \omega_k + \omega_s, \quad m, k, s \leq N\},$$

$$Q_n = \{(m, k, -s)(m, -s, k)(-s, m, k) : \omega_n = \omega_m + \omega_k - \omega_s, \quad m, k, s \leq N\},$$

$$R_n = \{(m, -k, -s)(-k, m, -s)(-k, -s, m) : \omega_n = \omega_m - \omega_k - \omega_s, \quad m, k, s \leq N\},$$

3. Исследование укороченной системы уравнений

Как отмечалось в [3], исследование укороченной системы уравнений (27), (28) в случае произвольного N имеет принципиальные технические трудности. Однако, как показывает эксперимент [3], анализ малого числа уравнений ($N=1-3$) приводит к результатам, которые не только качественно правильно описывают поведение автоколебательной системы, но и с достаточной степенью точности количественно удовлетворяют экспериментальным данным. Отметим, что при $N \rightarrow \infty$ можно «свернуть» систему укороченных уравнений в одно скалярное уравнение (см., например, [2]). Однако полученные на этом пути результаты требуют обязательной экспериментальной проверки, так как, во-первых, не учитываются инерционные свойства активного элемента, а во-вторых, фактически априори предполагается применимость телеграфных уравнений во всем диапазоне частот.

Рассмотрим случай $N=1$. Тогда из (27,28) приходим к следующей системе уравнений:

$$\ddot{z}_1 + \left(1 - \frac{i\omega_1 m_1^2 m_2^2}{2}\right) \dot{z}_1 + 2im_1^2 \dot{y}_1 - 2(\gamma - 1/8)z_1 + 6z_1 |z_1|^2 = 0, \quad (29)$$

$$\dot{y}_1 + \frac{r}{2} y_1 + \frac{1}{4} \pi m_2^2 \dot{z}_1 + \frac{1}{8} \pi m_2^2 z_1 = 0. \quad (30)$$

Полагая в ней $\gamma > 1/8$ и

$$z_1 = \rho_1 \exp(i\varphi_1), \quad y_1 = \delta_1 \exp(i\Psi_1),$$

непосредственно проверяется, что у системы (29), (30) имеет место состояние равновесия

$$\rho_1 = ((\gamma - 1/8)/3)^{1/2}, \quad \delta_1 = \frac{\pi m_2^2}{4r} \rho_1. \quad (31)$$

Далее, для исследования устойчивости состояния равновесия (31) применялся критерий Ляпуна-Шипара с привлечением численного анализа. На рис.2 представлена область 1 значений параметров γ и $\mu = m_1^2 m_2^2$, при которых состояние равновесия (31) асимптотически устойчиво, т.е. орбитально асимптотически устойчиво периодическое решение исходной краевой задачи, реализуемое на частоте ω_1 . Отметим, что здесь, как и в эксперименте, r равнялось значению 0.26.

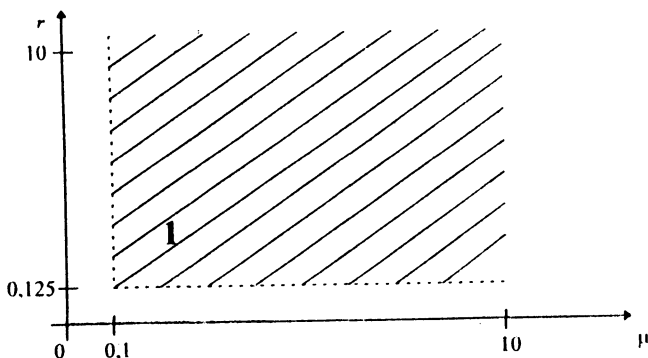


Рис.2.

Рассмотрим теперь случай $N=2$. Из системы (27), (28) приходим к уравнениям вида

$$\ddot{z}_1 + \left(1 - \frac{i\omega_1 m_1^2 m_2^2}{2}\right) \dot{z}_1 + 2i\dot{y}_1 m_1^2 / \omega_1 - 2(\gamma - 1/8)z_1 + 6z_1|z_1|^2 + 12z_1|z_2|^2 + 6z_1^2 z_2 = 0, \quad (32)$$

$$\ddot{z}_2 + \left(1 - \frac{i\omega_2 m_1^2 m_2^2}{2}\right) \dot{z}_2 + 2i\dot{y}_2 m_1^2 / \omega_2 - 2(\gamma - 1/8)z_2 + 2z_1^3 + 6z_2|z_2|^2 + 12z_2|z_1|^2 = 0, \quad (33)$$

$$\dot{y}_1 + \frac{r}{2} y_1 + \frac{\omega_1 m_2^2}{4} \dot{z}_1 + \frac{\omega_1 m_2^2}{8} z_1 = 0, \quad (34)$$

$$\dot{y}_2 + \frac{r}{2} y_2 + \frac{\omega_2 m_2^2}{4} \dot{z}_2 + \frac{\omega_1 m_2^2}{8} z_2 = 0. \quad (35)$$

Исследование системы (32)-(35) показывает, что у нее имеются три семейства состояний равновесия, однако все они неустойчивы. Аналогичный результат получаем для случаев $N=3$ и $N=4$. Более того, проведенный далее анализ позволяет выявить следующее обстоятельство: для произвольного конечного N не выполняются необходимые условия устойчивости состояний равновесия системы (27), (28).

Для доказательства этого утверждения сначала находим состояния равновесия у системы (27), (28). Затем, линеаризуя ее на полученных состояниях равновесия и выделяя действительную и мнимую части, в результате приходим к векторным равенствам:

$$\dot{Z}_N = A_N Z_N, \quad (36)$$

где A_N – матрица $6N \times 6N$. Несложный, но громоздкий анализ показывает, что при всех $N \geq 2$

$$\text{sp} A > 0,$$

причем неравенство (37) выполняется для всех состояний равновесия системы (27), (28).

Таким образом, в заключение можно сделать важный для теории и практики вывод, что введение а автоколебательную систему указанным ранее способом дополнительной добротной LCR-линии разрушает многоцикличность (буферность) и приводит к реализации единственного, близкого к гармоническому, периодического режима на частоте ω_1 .

4. К вопросу о переходных процессах в изучаемой модели

Сразу отметим, что опираясь на методику, используемую в [2], можно доказать однозначную разрешимость начальной задачи Коши для исходной краевой задачи (1)-(4). Однако, учитывая полученные выше результаты, интерес представляют лишь те переходные процессы в краевой задаче (1)-(4) или соответственно в системе укороченных уравнений (27), (28), которые «переходят» в физически реализуемое при $\tau \rightarrow \infty$ состояние равновесия (31). В связи с этим вернемся к системе (29), (30) и выделим в ней действительную и мнимую части. Далее, составлялась разностная схема и применялся метод Рунге-Кутты для численного решения полученных уравнений. На рис.3 представлены графики 1, 2 соответственно для $\rho_1 = \rho_1(\tau)$, $\delta_1 = \delta_1(\tau)$, отражающие один из возможных вариантов реализации переходного процесса при достаточно малых начальных условиях и характерных значениях параметров автоколебательной системы.

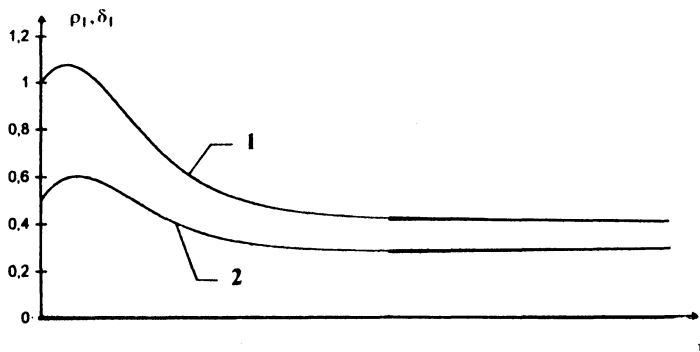


Рис.3

В заключение отметим, что здесь мы специально кратко остановились на этом вопросе, так как на практике информация о переходных процессах в генераторе имеет достаточно важное значение, например, для оценки времени установления стационарных режимов.

5. Экспериментальная часть

Для оценки теоретических результатов был использован базовый автогенератор, принципиальная схема которого представлена в [3]. В качестве дополнительной линии применялся отрезок длинной линии, выполненной в виде прямого соленоида. Суммарные распределенные индуктивность, емкость и сопротивление соответственно равнялись $L_2=6.77$ мГн, $C_2=715.07$ пФ, $R_2=17$ Ом. Напомним, что цепь обратной связи, выполненная также в виде прямого соленоида, имела $L_1=55.16$ мГн, $C_2=87.67$ пФ, $R_1=540$ Ом. Таким образом, были выполнены требования к дополнительной линии в плане ее «настроенности» и добротности. Проведенные эксперименты полностью подтвердили полученные теоретические результаты. При увеличении коэффициента усиления k_0 (возрастания параметра γ) при любых достаточно малых начальных

условиях в системе реализовывался единственный периодический режим, близкий к гармоническому (см. рис.4), причем в эксперименте кроме параметров автоколебаний (амплитуды, частоты) определялось время протекания переходного процесса. Экспериментальные данные с хорошей степенью точности (15%) совпали с результатами теории.

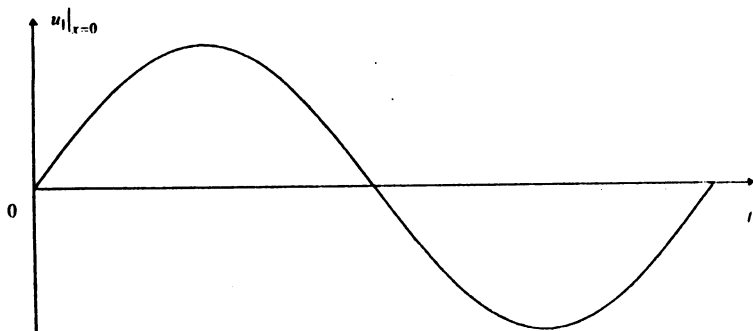


Рис.4.

Заключение

В заключение сформулируем основные выводы, отражающие результаты работы.

1. Построена математическая модель автоколебательной системы, состоящей из базового LCR-генератора и отрезка добротной LCR-линии, сильно взаимодействующей с цепью обратной связи автогенератора.

2. Получил дальнейшее развитие специальный вариант асимптотического метода Крылова-Боголюбова-Митропольского, позволивший провести анализ бифурцирующих автоколебаний.

3. Выявлено, что в системе с ростом коэффициента усиления реализуется единственный периодический режим, близкий к гармоническому, и тем самым вырождается многоцикличность (буферность), которая имела место в базовом автогенераторе.

4. Проанализированы переходные процессы в изучаемой модели, что позволило оценить время установления стационарных колебаний.

5. Теоретические результаты подтверждены экспериментальными данными.

СПИСОК ЛИТЕРАТУРЫ

1. И.М.Капчинский. Методы теории колебаний в радиотехнике. – М.: Госэнергоиздат, 1954, 352с.
2. В.Ф.Камбулов, А.Ю.Колесов. Об одном модельном гиперболическом уравнении, возникающем в радиофизике // Математическое моделирование, 1996, т.8, №1, с.93-102.
3. В.Ф.Камбулов, А.Ю.Колесов. О специфике генерируемых колебаний в автогенераторе с малым затуханием в цепи обратной связи // Радиотехника и электроника, 1997, т.42, №8, с.1019-1024.
4. Н.Н.Боголюбов, Ю.А.Митропольский. Асимптотические методы в теории нелинейных колебаний. – М.: 1974, 503с.
5. Е.А.Гребенников. Метод усреднения в прикладных задачах. – М.: 1986, 255с.

Поступила в редакцию 12.01.2000.